



Kandidaatintutkielma
Fysikaalisten tieteiden kandidaattiohjelma
Teoreettinen fysiikka

Mukautuva hilantarkennus Vlasiator-plasmasimulaattorissa

Leo Kotipalo

24.11.2021

Ohjaaja: Yann Pfau-Kempf

Tarkastajat: Yann Pfau-Kempf
Markus Battarbee

HELSINGIN YLIOPISTO
MATEMAATTIS-LUONNONTIETEELLINEN TIEDEKUNTA

PL 64 (Gustaf Hällströmin katu 2a)
00014 Helsingin yliopisto

Tiedekunta — Fakultet — Faculty		Koulutusohjelma — Utbildningsprogram — Degree programme	
Matemaattis-luonnontieteellinen tiedekunta		Fysikaalisten tieteiden kandidaattiohjelma Teoreettinen fysiikka	
Tekijä — Författare — Author			
Leo Kotipalo			
Työn nimi — Arbetets titel — Title			
Mukautuva hilantarkennus Vlasiator-plasmasimulaattorissa			
Työn laji — Arbetets art — Level		Aika — Datum — Month and year	Sivumäärä — Sidantal — Number of pages
Kandidaatintutkielma		24.11.2021	25
Tiivistelmä — Referat — Abstract			
<p>Avaruusplasman simulointi globaalissa mittakaavassa on laskennallisesti vaativaa. Mallintamalla eri alueita eri tarkkuudella laskentavaatimuksissa voidaan säästää menettämättä liikaa tarkkuutta. Tämä tutkielma käsittelee mukautuvaa hilantarkennusta menetelmänä optimoida simulointia Vlasiatorissa.</p> <p>Tutkielmassa perehdytään plasman käyttäytymiseen ja erilaisiin ominaisiin mittakaavoihin, jotka tulee ottaa huomioon mallinnuksessa. Mallinnusmenetelmistä käsitellään kineettistä mallinnusta tilastollisin menetelmin sekä fluidimallia. Molemmissa on etunsa ja käyttökohteensa, ja Vlasiator käyttääkin näiden yhdistelmää. Elektronien kineettisen mallinnus vaatii kertaluokkia tarkempaa resoluutiota kuin ioneiden, joten ionit mallinnetaan kineettisesti ja elektronit fluidina.</p> <p>Vlasiatorin käyttämä kohdennettu tarkennus esitellään menetelmänä muisti- ja laskentavaatimuksissa säästämiseen. Magnetosfäärin rakenteen vuoksi vaadittu tarkkuus ei ole sama kaikkialla simulaatioalueella. Alueilla joissa vaaditaan parempaa resoluutiota simulaatiohila voidaan tarkentaa paikallisesti siten, että simulaatioon syötetään parametrinä tarkennettava alue. Kehityksenä tästä esitellään mukautuva hilantarkennus – menetelmä, millä simulaatio mukauttaa hilaa simulaatiodatan perusteella. Mukautuva tarkennus perustuu eri muuttujien gradientteihin: alueet, joissa tarkasteltavat muuttujat muuttuvat äkillisesti, tarkennetaan. Vastaavasti alueet, joissa muutos on vähäistä, harvennetaan.</p> <p>Mukautuvan tarkennuksen tulokset osoittautuivat lupaavaksi tavaksi kehittää Vlasiatoria. Tarkennusparametrit tuottavat vanhaa tarkennusmenetelmää muistuttavan tuloksen, joka kuitenkin eroaa tarkalta muodoltaan siitä. Seuraava jatkotutkimuksen kohde on mukautuvan tarkennuksen toteuttaminen ajonaikaisesti.</p>			
Avainsanat — Nyckelord — Keywords			
Avaruusplasmafysiikka, AMR, numeerinen mallinnus			
Säilytyspaikka — Förvaringsställe — Where deposited			
Muita tietoja — Övriga uppgifter — Additional information			

Sisällys

1 Johdanto	1
2 Teoriaa	2
2.1 Plasman liike	2
2.2 Ominaiset skaalat	3
2.2.1 Langmuirin värähtely	3
2.2.2 Larmorin liike	4
2.3 Aurinkotuulen ilmiöt	5
3 Menetelmät	7
3.1 Plasman kuvaus	7
3.1.1 Tilastollinen kuvaus	7
3.1.2 Magnetohydrodynaminen kuvaus	8
3.2 Vlasiator	9
3.3 Simulaation vaatimukset	9
3.4 Kohdennettu tarkennus	10
3.5 Mukautuva hilatarkennus	12
4 Tulokset	13
5 Johtopäätökset	18
Liite A Ajoparametrit	19
Kirjallisuus	24

1. Johdanto

Plasmaksi kutsutaan kvasineutraalia eli ulospäin varauksetonta, ionisoitunutta kaasua, jonka käyttäytymistä dominoivat kollektiiviset sähkömagneettiset vuorovaikutukset törmäysten sijasta. Enimmäkseen protoneista ja elektroneista koostuva aurinkotuuli on merkittävimpiä esimerkkejä avaruusplasmasta. Plasman ja sähkömagneettisen kentän ilmiöitä kutsutaan avaruussääksi ja sen mallintaminen on tärkeää paitsi lähiavaruuden ymmärryksen vuoksi myös käytännön vaikutusten vuoksi.

Aurinkotuuli vaikuttaa elektroniikkaan ja kommunikaatioon sekä avaruustoiminnassa että pienemmissä määrin maan päällä. Vuonna 1859 voimakkain mitattu aurinkomyrsky Carrington kaatoi lennätinverkon. Lähihistoriassa pienemmät aurinkomyrskyt ovat myös kaataaneet paikallisia sähköverkkoja. Uusi Carringtonin kaltainen myrsky voisi aiheuttaa mittavia ja pitkäkestoisia sähkökatkoja, katkaista mannertenväliset verkkoyhteydet tai tuhota satelliitteja [2]. Avaruussään luotettava ennustaminen on siis jatkuvassa määrin merkittävämpi tavoite.

Maan lähiavaruuden avaruustuulta mitataan pääasiassa satelliiteilla. Näiden lähettäminen avaruuteen on kuitenkin kallista, ja mittauksilla on huono toistettavuus; mikäli satelliitti havaitsee tapahtuman, se on pian ohittanut sen eikä toista havaintoa välttämättä saada. Ongelma voidaan ratkaista satelliittiparvilla, mutta tällöin kustannukset kasvavat [9].

Lähimittausten kustannusten ja huonon toistettavuuden takia erilaiset simulaatiot ovat yksi tärkeimmistä menetelmistä aurinkotuulen mallinnukseen. Keskimääräisen hiukkastiheyden ollessa luokkaa 10^6 m^{-3} yksittäisten hiukkasten mallinnus on selkeästi epärealistinen lähestymistapa suuren mittakaavan simulaatioissa, joten plasmaa mallinnetaan yleensä karkeammalla tasolla: hiukkasten sijaan voidaan käsitellä kuusiulotteisia paikka- ja nopeusjaumia tai plasman keskimääräistä liikettä. Vlasiator käyttää hybridisimulaationa näiden kahden menetelmän yhdistelmää.

Tutkielman rakenne on seuraavanlainen. Kappaleessa 2 käsitellään plasman liikettä ja sen kuvausmenetelmiä. Kappaleessa 3 kuvaillaan Vlasiatoria, sen toimintaa, ja miten sitä voidaan parantaa mukautuvalla tarkennuksella. Kappaleissa 4 ja 5 käsitellään tämän menetelmän tuloksia.

2. Teoriaa

Kappaleet 2.1 ja 2.2 seuraavat kirjaa *Introduction to Plasma Physics* [6].

2.1 Plasman liike

Varattuun hiukkaseen sähkömagneettisessa kentässä kohdistuu Lorentzin voima:

$$\mathbf{F} = q(\mathbf{E} + \mathbf{v} \times \mathbf{B}), \quad (2.1)$$

missä \mathbf{F} on voima, q hiukkasen varaus, \mathbf{E} sähkökenttä, \mathbf{v} hiukkasen nopeus ja \mathbf{B} magneettivuon tiheys. Lisäksi plasma vaikuttaa sähkömagneettiseen kenttään Maxwellin yhtälöiden kautta:

$$\nabla \cdot \mathbf{E} = \frac{\rho_c}{\epsilon_0} \quad (2.2)$$

$$\nabla \cdot \mathbf{B} = 0 \quad (2.3)$$

$$\nabla \times \mathbf{E} = -\frac{\partial \mathbf{B}}{\partial t} \quad (2.4)$$

$$\nabla \times \mathbf{B} = \mu_0 \left(\mathbf{J} + \epsilon_0 \frac{\partial \mathbf{E}}{\partial t} \right), \quad (2.5)$$

missä ρ_c on varaustiheys, ϵ_0 tyhjiön permittiivisyys, t aika, μ_0 tyhjiön permeabiliteetti ja \mathbf{J} virrantiheys. Kentät siis vaikuttavat plasman liikkeeseen ja plasman liike kenttiin. Kenttien yhteydessä energiatiheys U on myös tärkeä suure:

$$U = \frac{\epsilon_0}{2} \mathbf{E}^2 + \frac{1}{2\mu_0} \mathbf{B}^2. \quad (2.6)$$

Energiatiheyden yksikkö on J/m^3 .

Magnetosfäärissä myös taivaankappaleiden magneettiset dynamot vaikuttavat plasmaan: konvektio ja pyörimisliike aiheuttavat esimerkiksi maan sulassa ytimessä virtoja, jotka luovat vahvan magneettikentän. Ampèren lain (2.5) kautta plasman liikkeen synnyttämää magneettikenttää kutsutaan tässä yhteydessä perturboituneeksi magneettikentäksi \mathbf{B}_1 erotuksena taivaankappaleiden luomasta taustakentästä \mathbf{B}_0 . Energiatiheydestä (2.6) voidaan vähentää taustakentän kontribuutio ja tarkastella pelkästään perturboitunutta kenttää:

$$U_1 = \frac{\epsilon_0}{2} \mathbf{E}^2 + \frac{1}{2\mu_0} \mathbf{B}_1^2. \quad (2.7)$$

2.2 Ominaiset skaalat

2.2.1 Langmuirin värähtely

Poikkeama elektronitiheydessä aiheuttaa myös liikettä plasmassa. Olettamalla raskaammat ionit liikkumattomaksi elektronien taustalla, saadaan häiriölle $n_1(\mathbf{r}, t)$ ja hiukkastiheydelle n_0 :

$$\begin{cases} n_i = n_0 \\ n_e = n_0 + n_1(\mathbf{r}, t), \end{cases}$$

missä n_i on ionien ja n_e elektronien lukumäärätiheys. Tämä perturbaatio aiheuttaa sähkökentän \mathbf{E}_1 . Elektronien liikeyhtälö on nyt:

$$\begin{aligned} \mathbf{F} &= m\mathbf{a} && \text{|yhtälöstä (2.1)} \\ q_e\mathbf{E}_1 &= m_e \frac{\partial \mathbf{u}_1}{\partial t}, && (2.8) \end{aligned}$$

missä \mathbf{a} on kiihtyvyyys, m_e elektronin massa, q_e elektronin varaus eli alkeisvaraus e ja \mathbf{u}_1 perturbaation aiheuttama liike. Jatkuvuusyhtälöstä saadaan olettamalla perturbaation olevan pieni ja poistamalla toisen asteen termi $n_1\mathbf{u}_1$:

$$\begin{aligned} 0 &= \frac{\partial n_e}{\partial t} + \nabla \cdot (n_e \mathbf{u}) \\ 0 &= \frac{\partial n_1}{\partial t} + n_0 \nabla \cdot \mathbf{u}_1 && \left| \frac{\partial}{\partial t} \right. \\ 0 &= \frac{\partial^2 n_1}{\partial t^2} + n_0 \nabla \cdot \left(\frac{\partial \mathbf{u}_1}{\partial t} \right) && \text{|yhtälöstä (2.8)} \\ 0 &= \frac{\partial^2 n_1}{\partial t^2} + \frac{n_0 q_e}{m_e} \nabla \cdot \mathbf{E}_1 && \text{|yhtälöstä (2.2)} \\ 0 &= \frac{\partial^2 n_1}{\partial t^2} + \frac{n_0 q_e \rho_{c,1}}{\epsilon_0 m_e} && \left| \rho_{c,1} = q_e n_1 \right. \\ 0 &= \frac{\partial^2 n_1}{\partial t^2} + \frac{n_0 q_e^2}{\epsilon_0 m_e} n_1 && \left| q_e = e \right. \\ 0 &= \frac{\partial^2 n_1}{\partial t^2} + \frac{n_0 e^2}{\epsilon_0 m_e} n_1. && (2.9) \end{aligned}$$

Yhtälöstä nähdään liikkeen olevan harmonista värähtelyä taajuudella

$$\omega_{pe}^2 = \frac{n_0 e^2}{\epsilon_0 m_e}, \quad (2.10)$$

jota kutsutaan *plasmataajuudeksi*. Vastaavasti ioneille voidaan määrittää hitaampi värähtely:

$$\begin{aligned} \omega_{pi}^2 &= \frac{n_0 q_i^2}{\epsilon_0 m_i} \\ \omega_{pi}^2 &= \frac{n_0 (Z_i e)^2}{\epsilon_0 m_i}. \end{aligned} \quad (2.11)$$

missä q_i on ionin varaus, Z_i ionin järjestysluku ja m_i ionin massa. Plasmataajuudet muodostavat plasman ominaisen aikaskaalan.

2.2.2 Larmorin liike

Tarkastellaan nyt liikkuvaa hiukkasta sähkökentässä $\mathbf{E} = \mathbf{0}$ ja magneettikentässä $\mathbf{B} = B\hat{\mathbf{k}}$. Hiukkasen massa on m ja varaus q . Tällöin hiukkaseen kiihtyvyys kuhunkin suuntaan saadaan:

$$\begin{aligned} m\mathbf{a} &= \mathbf{F} && \text{|Yhtälöstä (2.1)} \\ \frac{\partial \mathbf{v}}{\partial t} &= \frac{q}{m} \mathbf{B} \times \mathbf{v} \\ \frac{\partial \mathbf{v}}{\partial t} &= \frac{qB}{m} (v_y, -v_x, 0) && \left| \frac{\partial}{\partial t} \right. \\ \frac{\partial^2 \mathbf{v}}{\partial t^2} &= \frac{qB}{m} \left(\frac{\partial v_y}{\partial t}, -\frac{\partial v_x}{\partial t}, 0 \right) \\ \frac{\partial^2 \mathbf{v}}{\partial t^2} &= -\frac{q^2 B^2}{m^2} (v_x, v_y, 0) \end{aligned}$$

Hiukkasen kentän suuntainen nopeus on siis vakio, ja kenttää kohtisuoraan se päättyy ympyrärädälle taajuudella

$$\omega_c = \frac{qB}{m}, \quad (2.12)$$

jota kutsutaan *Larmorin taajuudeksi* eli *gyrotaajuudeksi*. Ympyräradan säde eli *Larmorin säde* r_L ratkaistaan melko suoraviivaisesti:

$$\begin{aligned} \mathbf{F} &= m\mathbf{a} && \text{|yhtälöstä (2.1) ja normaalikiilhtyvyydestä} \\ qv_{\perp} B &= m \frac{v_{\perp}^2}{r_L} \\ r_L &= \frac{mv_{\perp}}{qB}, \end{aligned} \quad (2.13)$$

missä v_{\perp} on hiukkasen nopeuden suuruus magneettikenttää kohtisuoraan.

Voimme myös määrittää *inertiaalipituuden* Larmorin säteen ja niin kutsutun *Alfvénin nopeuden* avulla. Alfvénin nopeus v_A on magneettikentän suuntaan kulkevan oskillaation nopeus, ja se määritellään

$$v_A = \frac{B}{\sqrt{\mu_0 \rho}}.$$

Inertiaalipituus d on Alfvénin nopeudella kulkevan hiukkasen Larmorin säde:

$$\begin{aligned}
 d &= \frac{mB}{qB\sqrt{\mu_0\rho}} \\
 &= \frac{mc\sqrt{\epsilon_0}}{q\sqrt{n_0m}} \\
 &= \frac{c}{q}\sqrt{\frac{m\epsilon_0}{n_0}} && |\omega_p \\
 &= \frac{c}{\omega_p}, && (2.14)
 \end{aligned}$$

missä c on valon nopeus tyhjiössä ja ω_p kyseisen hiukkasen plasmataajuus (2.10) tai (2.11).

Inertiaalipituus ja Larmorin säde muodostavat kineettisten ilmiöiden etäisyyskaalan: näitä lyhyemmällä pituuksilla kineettiset ilmiöt eli yksittäisten hiukkasten välisiin vuorovaikutukset tulevat esiin [9]. Samoin käy plasmataajuutta sekä gyrotaajuutta lyhyemmällä aika-askeleilla.

Larmorin liikkeen vuoksi plasma myös virtaa anisotrooppisesti: hiukkaset liikkuvat vapaasti magneettikentän suuntaisesti, mutta magneettikenttää vastaan kohtisuora liike on vaikeaa.

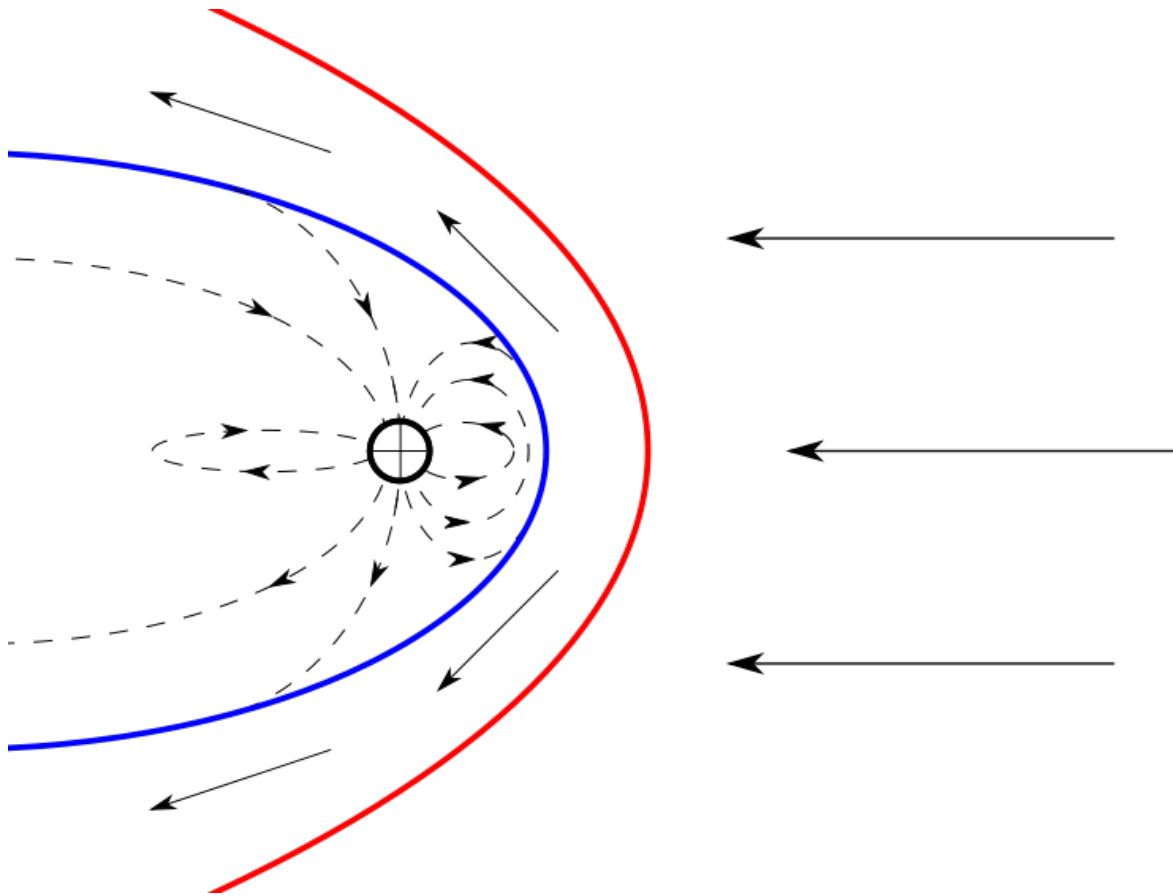
2.3 Aurinkotuulen ilmiöt

Plasma voidaan jakaa törmäykselliseen ja törmäyksettömään plasmaan. Aurinkotuulta voidaan kuvata törmäyksettömänä; hiukkasten keskimääräinen vapaa matka on 1 AU kokoluokkaa [6].

Maan magneettikenttä estää aurinkotuulen suoraa virtausta, jolloin hiukkaset joutuvat kiertämään magnetosfäärin. Aurinkotuulen ionien virtausnopeus on noin 400 km/s, mikä on enemmän kuin perturbaatioiden etenemisnopeus plasmassa. Auringon puolelle Maata eli päiväpuolelle muodostuu tällöin keulasokki jossa nopeus äkillisesti laskee – ilmiö on vastaava kuin ylääänikoneilla ilmassa [1].

Maan magneetosfäärin ja aurinkotuulen välistä rajapintaa kutsutaan magnetopausiksi. Aurinkotuulen virtauspaine luo magnetosfäärille ominaisen muodon: Päiväpuolella magnetosfääri on litistynyt, ja Auringon vastaisella puolella eli yöpuolella magnetosfääri venyy pitkäksi pyrstöksi. Magnetopausin ja keulasokin välissä on huotra, jossa aurinkotuuli kiertää magnetosfäärin [7].

Keulasokin vuoksi aurinkotuuli käyttäytyy eri tavoilla eri alueilla. Kaukana magnetosfääristä virta on hyvin tasaista, kun taas Maan vaikutuspiirissä aurinkotuulen tiheys tai nopeus voivat muuttua hyvin äkillisesti.



Kuva 2.1: Yksinkertaistettu kuva Maan (\oplus) magnetosfääristä, mukailen kirjaa *Introduction to Space Physics* [7, Kuva 9.3]. Sininen viiva on magnetopausi; Maan magnetosfääri on sen sisäpuolella. Magnetopausin ja punaisen keulasokin välissä on huotra. Kiinteät nuolet kuvaavat aurinkotuulen virtaussuuntaa ja katkoviivat Maan magneettikenttää.

3. Menetelmät

3.1 Plasman kuvaus

3.1.1 Tilastollinen kuvaus

Tilastollisessa kuvauksessa käytetään statistisen mekaniikan menetelmiä plasman kineettiseen kuvaamiseen. Yksittäisten hiukkasten käyttäytymisen mallintamisen sijaan käsitellään kuusiulotteista distribuutiofunktiota $f(\mathbf{x}, \mathbf{v}, t)$, jolle:

$$\begin{aligned} \iiint d^3\mathbf{v} f(\mathbf{r}, \mathbf{v}) &= n(\mathbf{x}, t) \\ \iiint d^3\mathbf{x} \iiint d^3\mathbf{v} f(\mathbf{x}, \mathbf{v}, t) &= N(t), \end{aligned}$$

missä \mathbf{x} on paikka, \mathbf{v} nopeus, n hiukkastiheys ja N hiukkasten kokonaislukumäärä.

Tarkastellaan nyt törmäyksettömässä tapauksessa tilavuuselementtiä \mathcal{V} , jolle:

$$\begin{aligned} N_{\mathcal{V}}(t) &= \int_{\mathcal{V}} d^3\mathbf{v} d^3\mathbf{x} f(t, \mathbf{x}, \mathbf{v}) \\ \frac{d}{dt} N_{\mathcal{V}}(t) &= \int_{\mathcal{V}} d^3\mathbf{v} d^3\mathbf{x} \frac{\partial}{\partial t} f(t, \mathbf{x}, \mathbf{v}). \end{aligned} \tag{3.1}$$

Koska hiukkasia ei tuhoudu tai muodostu, hiukkasmäärän muutos tilavuuselementissä johtuu hiukkasvuosta pinnan $\mathcal{S} = \partial\mathcal{V}$ läpi. Merkitään nyt $\boldsymbol{\xi} = (\mathbf{x}, \mathbf{v})$ ja $\mathbf{u} = \dot{\boldsymbol{\xi}}$. Nyt saadaan:

$$\begin{aligned} \frac{d}{dt} N_{\mathcal{V}} &= - \oint_{\mathcal{S}} \mathbf{u} f \cdot d\mathcal{S} && \text{|Divergenssiteoreemalla:} \\ \frac{d}{dt} N_{\mathcal{V}} &= - \int_{\mathcal{V}} \boldsymbol{\nabla}_{\boldsymbol{\xi}} \cdot (\mathbf{u} f) d\mathcal{V}. \end{aligned} \tag{3.2}$$

Vähentämällä yhtälöstä (3.1) yhtälö (3.2) saadaan:

$$\int_{\mathcal{V}} \left[\frac{\partial f}{\partial t} + \boldsymbol{\nabla}_{\boldsymbol{\xi}} \cdot (\mathbf{u} f) \right] d\mathcal{V} = 0$$

Tämä pätee kaikille \mathcal{V} , joten:

$$\begin{aligned}
0 &= \frac{\partial f}{\partial t} + \nabla_{\xi} \cdot (\mathbf{u}f) \\
0 &= \frac{\partial f}{\partial t} + \nabla_{\mathbf{x}} \cdot (\dot{\mathbf{x}}f) + \nabla_{\mathbf{v}} \cdot (\dot{\mathbf{v}}f) \\
0 &= \frac{\partial f}{\partial t} + \nabla_{\mathbf{x}} \cdot (\mathbf{v}f) + \nabla_{\mathbf{v}} \cdot \left(\frac{\mathbf{F}}{m} f \right) \\
0 &= \frac{\partial f}{\partial t} + \cancel{f \nabla_{\mathbf{x}} \cdot \mathbf{v}} + \mathbf{v} \cdot \nabla_{\mathbf{x}} f + f \nabla_{\mathbf{v}} \cdot \frac{\mathbf{F}}{m} + \frac{\mathbf{F}}{m} \cdot \nabla_{\mathbf{v}} f \\
0 &= \frac{\partial f}{\partial t} + \mathbf{v} \cdot \nabla_{\mathbf{x}} f + f \nabla_{\mathbf{v}} \cdot \frac{\mathbf{F}}{m} + \frac{\mathbf{F}}{m} \cdot \nabla_{\mathbf{v}} f.
\end{aligned} \tag{3.3}$$

Termi $\nabla_{\mathbf{v}} \cdot \mathbf{F}$ on nolla mikäli voima ei riipu nopeudesta. Lorentzin voima riippuu, mutta sille:

$$\begin{aligned}
\nabla_{\mathbf{v}} \cdot \mathbf{F} &= q \nabla_{\mathbf{v}} \cdot (\mathbf{E} + \mathbf{v} \times \mathbf{B}) \\
\nabla_{\mathbf{v}} \cdot \mathbf{F} &= q \sum_{i,j,k} \frac{\partial}{\partial v_i} (\epsilon_{ijk} v_j B_k) \\
\nabla_{\mathbf{v}} \cdot \mathbf{F} &= 0.
\end{aligned}$$

Sijoittamalla nyt Lorentzin voima (2.1) yhtälöön (3.3) saadaan siis:

$$\frac{\partial f}{\partial t} + \mathbf{v} \cdot \nabla_{\mathbf{x}} f + \frac{q}{m} (\mathbf{E} + \mathbf{v} \times \mathbf{B}) \cdot \nabla_{\mathbf{v}} f = 0. \tag{3.4}$$

Tätä kutsutaan *Vlasovin yhtälöksi*. Menetelmässä iteroidaan Vlasovin yhtälöä aika-askel kerrallaan. Kentät määritetään myös aika-askeleittain Maxwellin yhtälöiden avulla.

3.1.2 Magnetohydrodynaminen kuvaus

Fluidikuvaus on kineettisiä kuvauksia yksinkertaisempi. Määrittämällä jakaumafunktion nopeusmomentit voidaan plasman liikettä kuvailla esimerkiksi hiukkastiheyden, virtausnopeuden ja paineen avulla. Käytännössä hiukkaslajit yksinkertaistetaan homogeenisiksi fluideiksi ja liikeyhtälöt muistuttavat Navier-Stokes yhtälöiden ja Maxwellin yhtälöiden yhdistelmää [6].

Tilastolliseen kuvaukseen verrattuna nopeusavaruus yksinkertaistuu kokonaan pois. Menetelmä on täten merkittävästi kevyempi, mutta malli antaa vain pääpiirteisen kuvan plasman liikkeestä. Esimerkiksi plasman läpi virtaava, ympäröivästä jakaumasta poikkeava suihku aiheuttaa epästabiiliuksia joita fluidimalli ei kykene kuvaamaan [9]. Kineettisissä kuvauksissa on myös aaltomoodeja, jotka eivät ilmene fluidikuvauksessa [5].

Yhdistämällä kaikki hiukkastyypit yhdeksi fluidiksi päästään *magnetohydrodynamiiseen* kuvaukseen eli MHD:hen. Tässä kuvauksessa myös hiukkastyypien väliset vuorovaikutukset katoavat; elektronit ja kaikki ionit virtaavat samansuuntaisesti samalla nopeudella, mikä edelleen yksinkertaistaa kuvausta. Fluidimallit toimivat parhaiten termodynaamisessa tasapainossa olevaan plasmaan, mutta menetelmää on käytetty myös aurinkotuulen kuvaukseen. Esimerkkinä tästä on GUMICS-simulaatio [4].

3.2 Vlasiator

Vlasiator* käyttää magnetosfäärin globaaliin mallinnukseen niin sanottua hybridi-Vlasov-menetelmää. Ionit mallinnetaan kineettisellä kuvauksella ja elektronit fluidina [12]. Menetelmän hyöty juontuu elektronien pienemmästä massasta. Kuten kappaleessa 2 on johdettu, Larmorin liikkeen taajuus (2.12) ja säde (2.13) sekä plasmataajuus (2.10) ja inertiaalipituus (2.14) riippuvat massasta seuraavalla tavalla:

$$\frac{\omega_{ce}}{\omega_{ci}} = \frac{\omega_{pe}^2}{\omega_{pi}^2} = \frac{r_{Li}}{r_{Le}} = \frac{d_i^2}{d_e^2} = \frac{m_i}{m_e} \approx 1836.$$

Vetyionin massa on noin 1836 suurempi kuin elektronin, joten elektronien kineettinen mallintaminen vaatii paljon lyhyemmän aika-askelen sekä tarkemman resoluution ja täten kohtuuttoman paljon laskenta-aikaa [9]. Hybridimenetelmällä yhdistetään kineettiset ilmiöt ioneilla fluidikuvauksen tehokkuuteen.

3.3 Simulaation vaatimukset

Globaalien ilmiöiden tarkkaa mallinnusta varten simulaation fyysinen koko on varsin suuri. Otetaan esimerkiksi kuun kiertosäteen verran eli noin 60 Maan sädettä tilaa jokaiseen suuntaan ($x, y, z \in [-60R_E, 60R_E]$). Kineettisten ilmiöiden mallintamiseen resoluution tulee olla samaa kokoluokkaa kuin ionien inertiaalinen pituus aurinkotulessa $d_i \approx 100$ km [11]. Paikka-avaruuden soluja N_x tarvitaan siis yhteensä:

$$N_x = \left(\frac{2 \cdot 60 \cdot 6371 \text{ km}}{100 \text{ km}} \right)^3 \approx 4 \cdot 10^{11}$$

Nopeusavaruuden tulee taas kattaa aurinkotuulelle tyypilliset nopeudet, eli joka suuntaan ± 2000 km/s. Resoluution tulee olla aurinkotuulen termisen nopeuden luokkaa eli noin 30 km/s [11]. Nopeusavaruuden soluja N_v tarvitaan siis:

$$N_v = \left(\frac{2000 \text{ km/s}}{30 \text{ km/s}} \right)^3 \approx 3 \cdot 10^5$$

Yhteensä faasiavaruus on siis $3 \cdot 4 \cdot 10^{16} \approx 1 \cdot 10^{17}$ solua, joka on nykyisille supertietokoneille liikaa.

Merkittävä osuus faasiavaruudesta on kuitenkin erittäin harvaa eikä täysi tarkkuus ole täten tarpeellista kineettisten ilmiöiden mallintamiseen. Harventamalla nopeusavaruutta päästään 98 % säästöihin muisti- ja laskentavaatimuksissa [8]. Tämä riittää kaksiulotteisiin simulaatioihin, mutta kolmiulotteisessa tapauksessa vaadittuun tarkkuuteen tarvitaan myös paikka-avaruuden harventamista.

*Tuoreimman version lähdekoodi saatavilla [10]

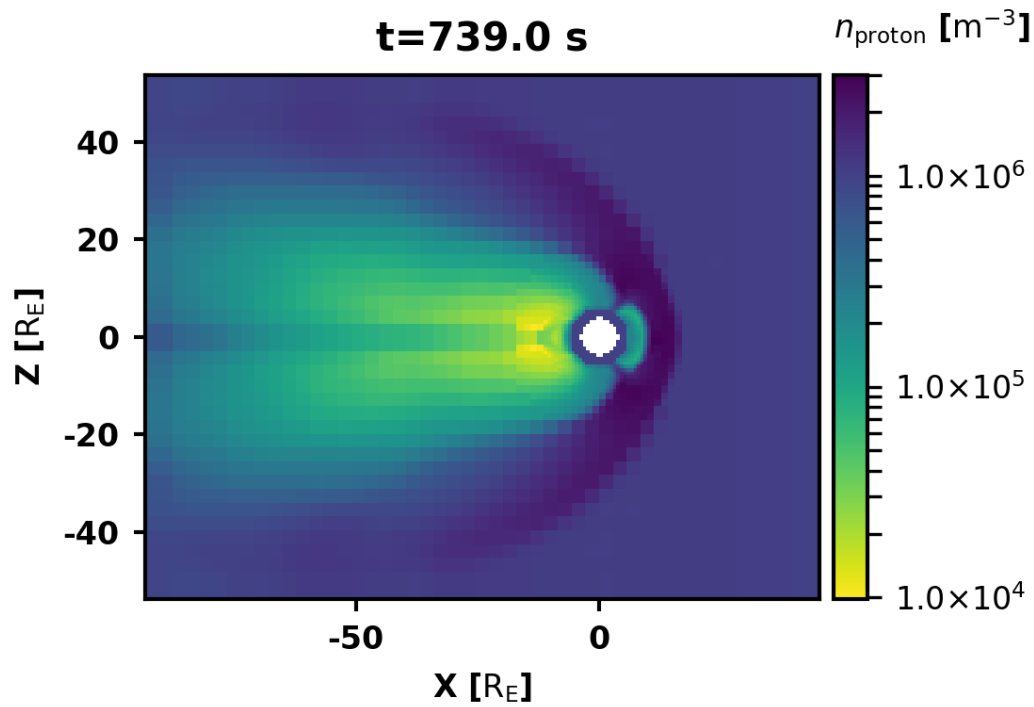
3.4 Kohdennettu tarkennus

Kaukana Maasta plasma on varsin homogeenista verrattuna Maan magnetosfäärin alueeseen, ks. Kuva 3.1. Täten kaikkien solujen pitäminen samalla tarkkuudella on tarpeetonta; ylimääräinen tarkkuus tasaisella alueella kuluttaa resursseja antamatta hyödyllistä informaatiota simulaatiota varten. Koko simulaation nostaminen esimerkiksi kaksi kertaa tarkemmaksi johtaa $2^3 = 8$ -kertaiseen muistinkäyttöön ja laskentamäärään.

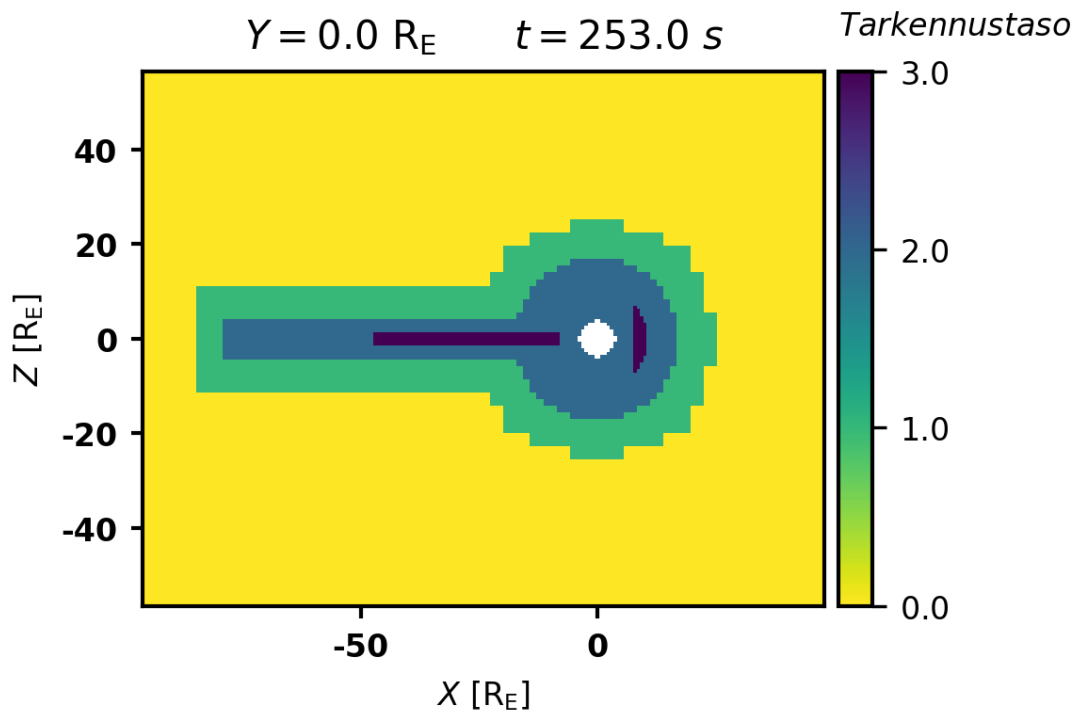
Vlasiatorissa ongelma on ratkaistu dccrg-kirjastolla.* Kukin solu voidaan kolmessa ulottuvuudessa jakaa kahdeksaan pienempään soluun. Kahden vierekkäisen solun tarkennukset voivat erota enintään yhdellä tasolla [3]. Toistaiseksi simulaatiota ajaessa on annettu parametreina tarkennettava alue: ionosfäärin ympäristö ja magnetosfäärin pyrstö ovat tarkimmalla tasolla, ks. Kuva 3.2.

Tämä on toimiva joskaan ei täysin ongelmaton ratkaisu. Ensinnäkin vaikka parametrit vastaavatkin Maan magnetosfäärin rakenteita, ne ovat jokseenkin mielivaltaisesti määriteltynä. Etukäteen määritellyillä parametreilla tarkennettava alue saattaa olla tarpeettoman suuri, tuhlaten laskentaresursseja. Toisaalta sen ulkopuolelle voi myös jäädä turbulenteja alueita, joissa tarkempi kuvaus olisi hyödyllistä. Parametrisaatio ei myöskään ole kovin yleistettävää. Parametrit tulisi määrittää erikseen esimerkiksi muille taivaankappaleille tai erilaisille simulaatio-olosuhteille.

*Distributed Cartesian cell refinable grid, lähdekoodi <https://github.com/fmihpc/dccrg>



Kuva 3.1: Esimerkki protonien hiukkastiheyden n käyttäytymisestä, kun ainoastaan ionosfääriin ympäristö on korkealla resoluutiolla.



Kuva 3.2: Esimerkki parametrisoidusta tarkennuksesta, tummempi väri tarkoittaa tarkempaa resoluutiota. Häntä ja magnetosfäärin kärki ovat tarkimmalla tasolla.

3.5 Mukautuva hilatarkennus

Ratkaisuna tähän on mukautuva hilantarkennus eli AMR*. Simulaation aikana voidaan määrittää jokaisessa solussa niin sanottu tarkennusindeksi α , jonka perusteella hilaa joko tihennetään tai harvennetaan. Nyt simulaatiolle annetaan parametrina kaksi kynnystä. Indeksien alittaessa alemman kynnyksen koordinaatistoa harvennetaan solun kohdalta ja sen ylittäessä ylemmän kynnyksen sitä tihennetään.

Tarkennusindeksi on GUMICS-simulaatiossa määritetty dimensiottomien gradienttien maksimina seuraavalla tavalla [4]:

$$\alpha = \max \left\{ \frac{\Delta\rho}{\widehat{\rho}}, \frac{\Delta U_1}{\widehat{U}_1}, \frac{(\Delta\mathbf{p})^2}{2\rho\widehat{U}_1}, \frac{(\Delta\mathbf{B}_1)^2}{2\mu_0\widehat{U}_1}, \frac{|\Delta\mathbf{B}_1|}{\widehat{B}_1} \right\}. \quad (3.5)$$

Δx tässä on kahden solun välinen erotus muuttujassa x ja \hat{x} maksimi niiden välillä. Tarkennusindeksiä määrittäessä lasketaan jokainen termi tarkastelemalla solua ja kutakin sen naapureista yksitellen. Tarkasteltavina muuttujina ovat tiheys ρ , perturboituneen kentän energiatiheys U_1 (2.7), liikemäärätiheys \mathbf{p} , ja perturboituneen magneettikentän tiheys \mathbf{B}_1 .

Tämä tarkennusindeksi otettiin käyttöön myös Vlasiatorissa. Tarkennuksessa solu jaetaan kahdeksaan tytärsoluun ja data yksinkertaisesti kopioidaan emosolulta niille. Harvennuksessa otetaan kahdeksasta solusta keskiarvo, joka asetetaan suuremman solun arvoksi.

Tämän lisäksi voidaan myös suodattaa data liukuvan keskiarvon avulla. Tarkennettujen solujen datan arvoksi asetetaan keskiarvo niiden omasta ja tarkennettujen naapurien datasta. Tämä tekee uudelleentarkennetusta datasta hieman sileämpää, säilyttäen kuitenkin esimerkiksi ionien kokonaisvarauksen ja -liikemäärän.

*Adaptive mesh refinement

4. Tulokset

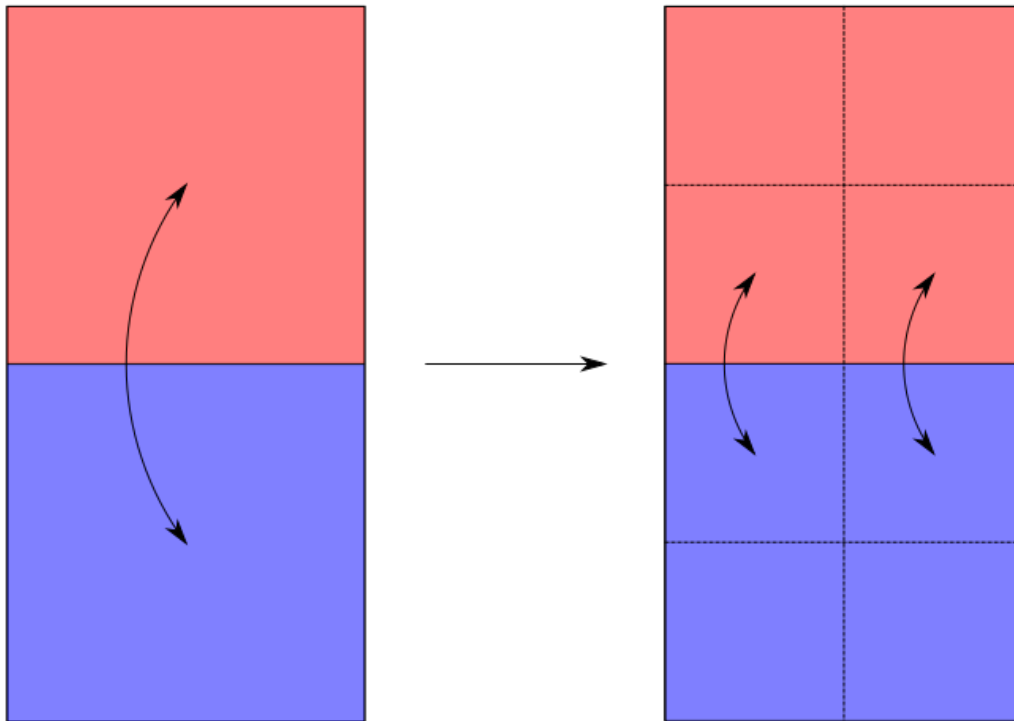
Tarkennus toteutettiin indeksin α (3.5) avulla pysäyttämällä ensin tasaisella resoluutiolla ajettu simulaatio (kuva 3.1). Tämän jälkeen tarkennus tehdään käynnistäessä simulaatio uudelleen. Useampi tarkennustaso toteutettiin jakamalla tarkennusindeksi kahdella aina tarkentaessa, ja tarkentamalla uudestaan mikäli tarkennuskynnys edelleen ylittyi. Kaikki ajoparametrit ovat Liitteessä A. Tarkentaessa kohdan `[restart]` alle lisättiin edellisen tiedoston nimi ja muutettiin `adapt_refinement = 1` rivillä 10. Kahden tarkennustason tulos saadaan muuttamalla `max_spatial_level = 2` rivillä 8.

Tarkennusta ei tehty ajon aikana useista syistä. Ajo oli ensisijaisesti testi tarkennusparametreille. Tarkennuksen suorittaminen kenttien alustamisen yhteydessä vähensi mahdollisuutta virheille itse simulaatiossa. Tarkennuksen aikavaatimusta ei vielä oltu määritetty ja testin tarkoituksena oli myös kartoittaa tältä osin soveltuvuutta ajonaikaiseen tarkennukseen. Välittömästi tarkennuksen jälkeen tarkennusindeksi ei myöskään ole enää hyvä mittari, sillä data kopioituu suoraan tytärsoluille. Kuvassa 4.1 on havainnollistus ongelmasta.

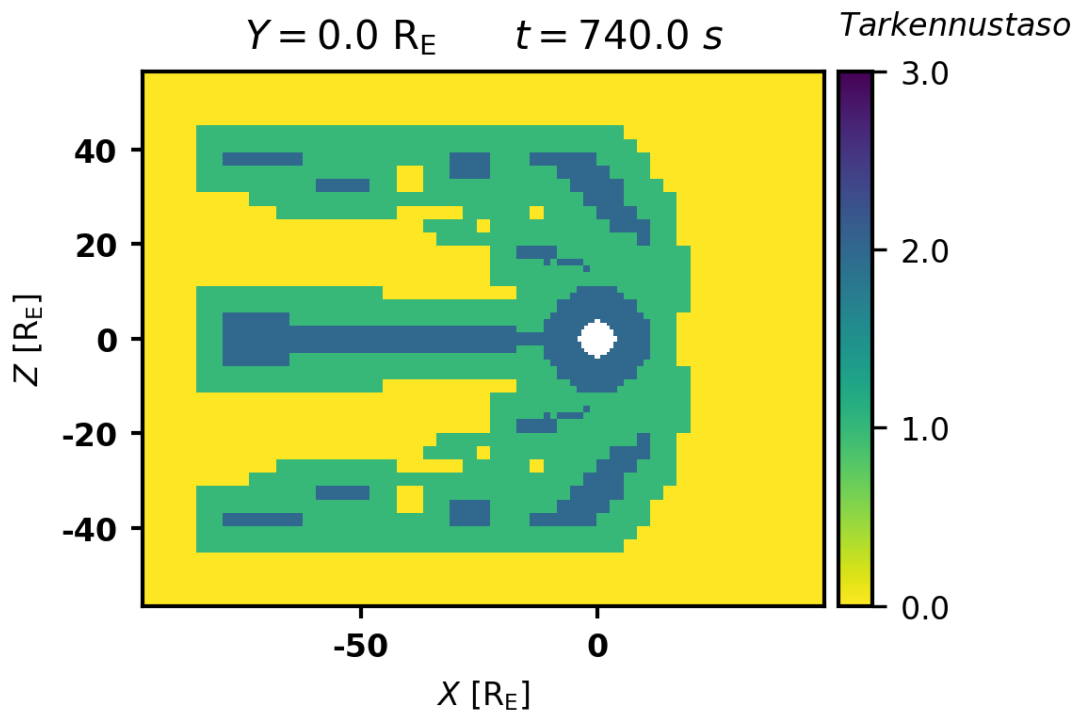
Kuvissa 4.2 ja 4.3 näkyy lopputulos: verrattuna parametrisoituun tarkennukseen Kuvassa 3.2 mukautuva tarkennus keskittyy enemmän keulasokin sivuihin kärjen ja hännän sijasta.

Kuvassa 4.4 näkyy potentiaalinen ongelma: välittömästi tarkennuksen jälkeen simulaatio näyttää täsmälleen samalta. Simulaatioon muodostuu pieniä sokkeja, kun jakauman jyrkästi muuttuvilla alueilla on tasaisia kohtia. Tämä johtuu siitä, että tarkentaessa data kopioidaan suoraan tytärsoluille. Hienompi rakenne tulee esille simulaation jatkuessa.

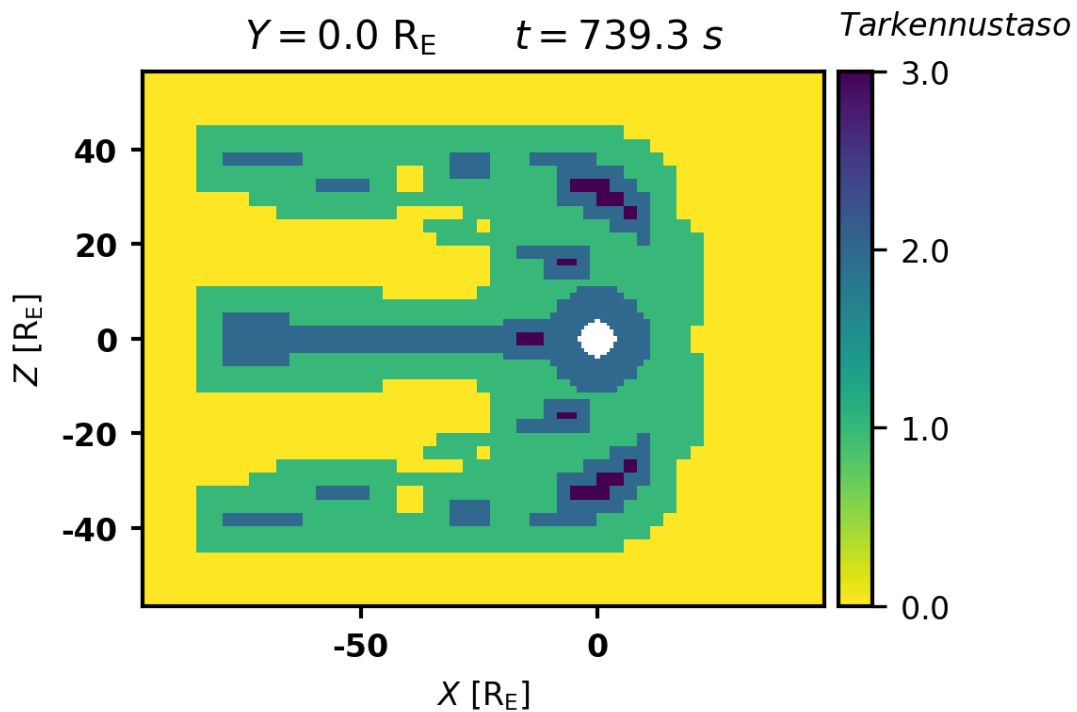
Edellämainittua ongelmaa voidaan korjata suodattamalla data tarkennuksen jälkeen. Kuvassa 4.5 on käytetty liukuvaa keskiarvoa tarkennetuissa soluissa datan suodatukseen. Etenkin keulasokin reuna näyttää tasaisemmalta jo heti tarkennuksen jälkeen.



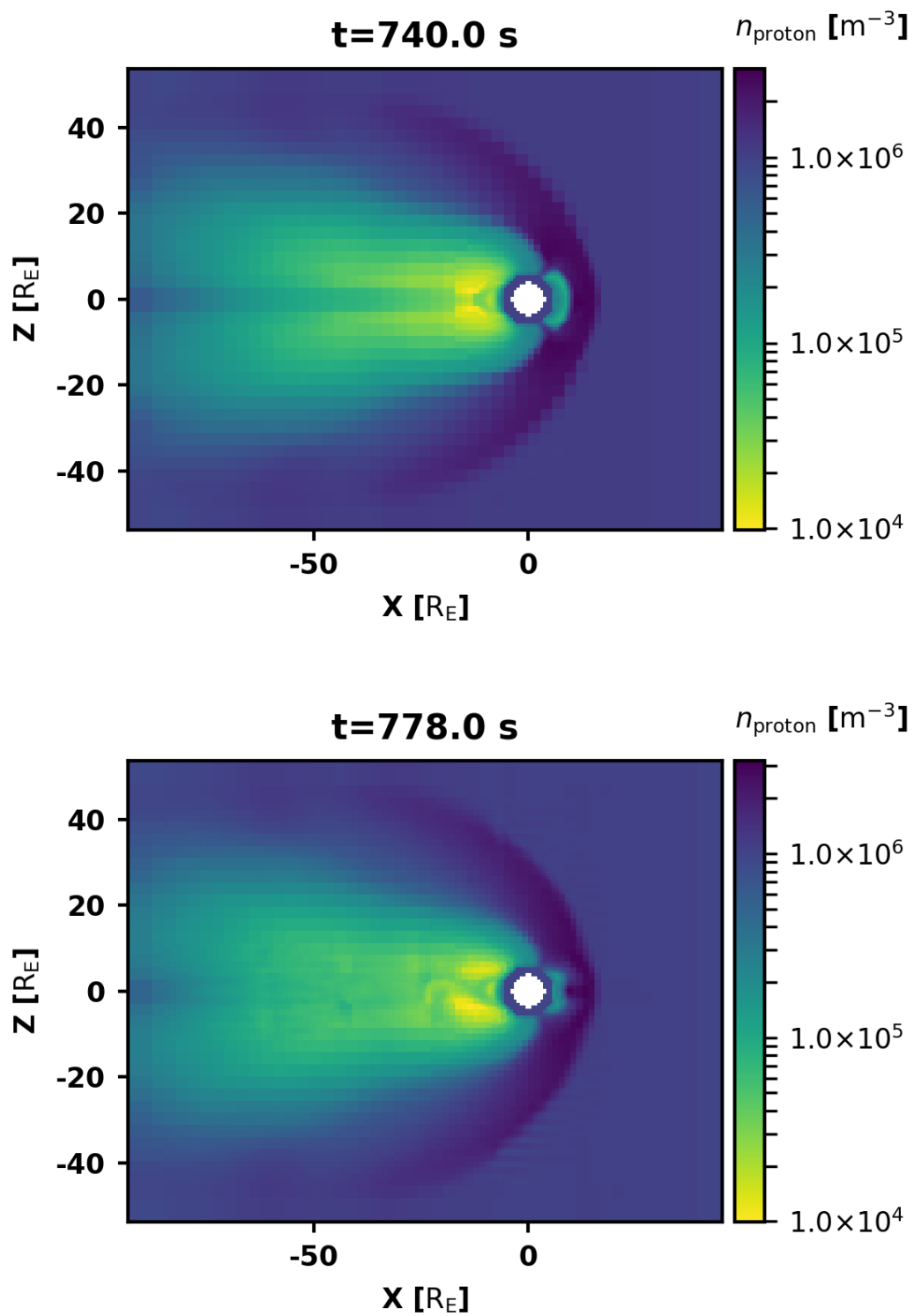
Kuva 4.1: Havainnollistus tarkennusindeksin käyttäytymisestä välittömästi tarkennuksen jälkeen. Olkoon punaisen (yllä) ja sinisen (alla) solun välillä sellainen ero, että tarkennusindeksi α ylittää tarkennuskynnyksen (vasemmalla). Tarkennuksessa data kopioituu suoraan tytärsoluille. Tarkennuksen jälkeen punaisen solun alempien tytärsolujen ja sinisen solun ylempien tytärsolujen välinen ero on sama kuin emosolujen välillä, joten tarkennusindeksi edelleen ylittyy (oikealla).



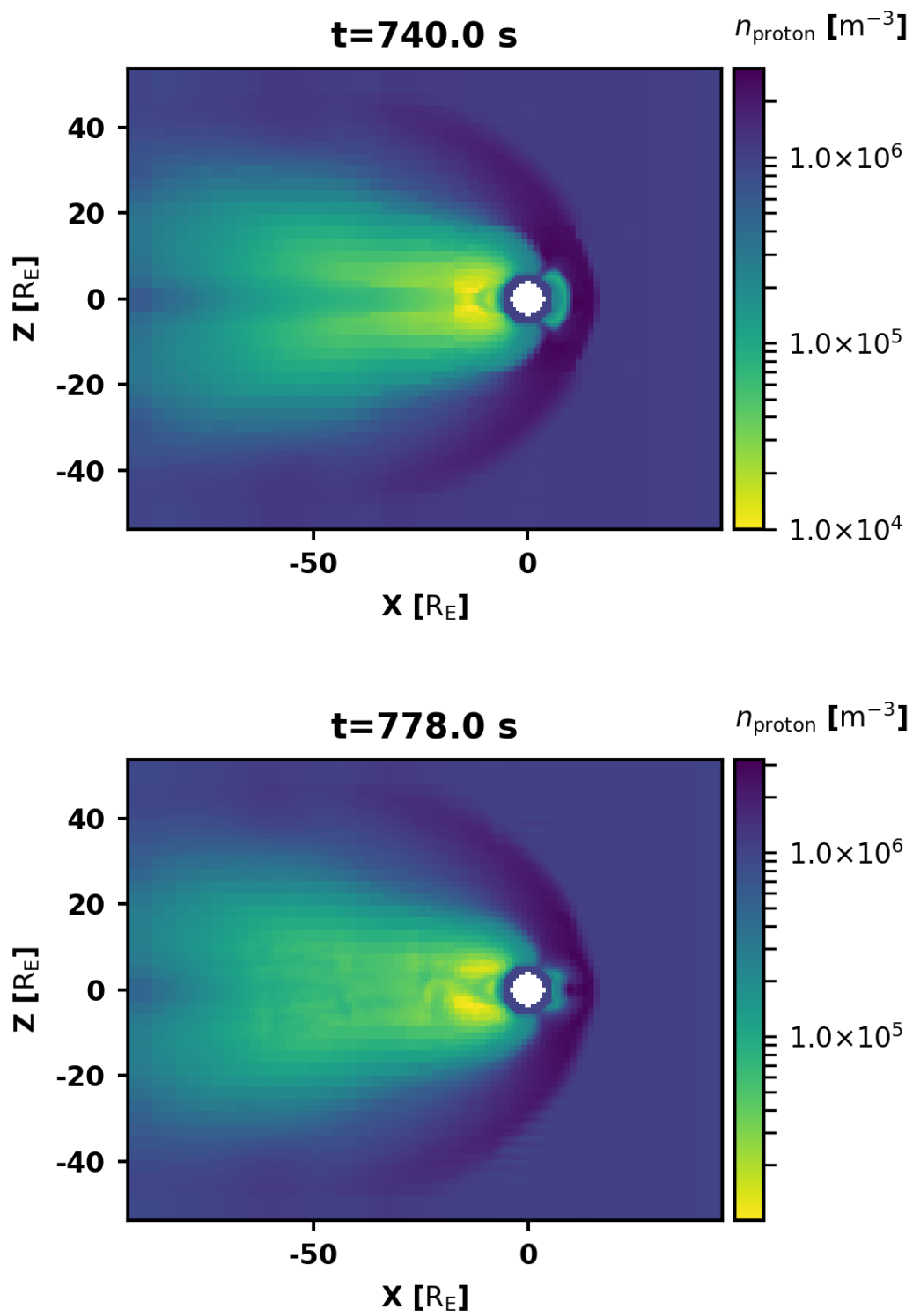
Kuva 4.2: Mukautuvan tarkennuksen tulos kahdella tarkennustasolla.



Kuva 4.3: Mukautuvan tarkennuksen tulos kolmella tarkennustasolla.



Kuva 4.4: Hiukkastiheys 1 s ja 39 s tarkennuksen jälkeen.



Kuva 4.5: Hiukkastiheys 1 s ja 39 s tarkennuksen ja suodatuksen jälkeen.

5. Johtopäätökset

AMR on lupaava menetelmä kolmiulotteisessa mallinnuksessa. Testiajossa huomataan selkeitä eroja aiempaan tarkennukseen, jotka ovat kuitenkin fysikaalisesti perusteltavissa: magnetosfäärin kärjen lisäksi koko keulasokki tarkentuu. Ajonaikaisessa tarkennuksessa se ei kuitenkaan vielä toimi: simulaation hitaan tasoittumisen vuoksi tarkennusindeksi ei ainakaan heti tarkennuksen jälkeen ole käyttökelpoinen. Datan suodattaminen auttaa, mutta sitäkin ei tule käyttää varomattomasti; liiallisella suodatuksella yksityiskohdat katoavat.

Mukautuva tarkennus soveltuu jo tällaisenaan paremmaksi heuristiikaksi simulaation tarkentamiseen. Hienosäätämällä tarkennusindeksin kynnyksiä päästään toivottuun muistinkäyttöön.

Menetelmää voidaan käyttää myös ajojen nopeampaan alustukseen. Ajon alkaessa tyhjästä simulaatioalue alustetaan homogeeniseksi. Aurinkotuulen virratessa sisään yhdessä suunnasta, vuorovaikuttaessa magnetosfäärin kanssa ja virratessa ulos simulaatio alkaa hitaasti muistuttaa todellista tilannetta. Aloittamalla karkealla tarkkuudella tämä alkuvaihe voidaan ohittaa nopeammin; kahdella tarkennustasolla tarkennettu ajo vei noin kymmenkertaisen määrän muistia tasaiseen verrattuna.

Kehitettävää kuitenkin on. Ajonaikainen tarkennus olisi toivottavaa sekä prosessin automatisoimiseksi että simulaation tarkkuuden parantamiseksi. Testien perusteella suurin osa tarkennukseen kuluvasta ajasta tulee laskentatyön tasapainottamisesta prosessien välillä. Tarkennus voitaisiin siis toteuttaa ennen normaalia tasapainotusta ilman merkittävää aikakustannusta. Näiden tulosten perusteella menetelmän kehittäminen on perusteltua.

Liite A. Ajoparametrit

```
1 project = Magnetosphere
2 dynamic_timestep = 1
3 ParticlePopulations = proton
4
5 [restart]
6
7 [AMR]
8 max_spatial_level = 3
9 should_refine = 0
10 adapt_refinement = 0
11 refine_treshold = 1.0
12
13 [io]
14 diagnostic_write_interval = 1
15 write_initial_state = 0
16 restart_walltime_interval = 21000
17 write_restart_stripe_factor = 6
18 number_of_restarts = 12
19 vlsv_buffer_size = 0
20
21 system_write_t_interval = 1
22 system_write_file_name = bulk
23 system_write_distribution_stride = 0
24 system_write_distribution_xline_stride = 0
25 system_write_distribution_yline_stride = 0
26 system_write_distribution_zline_stride = 0
27
28 [gridbuilder]
29 x_length = 51
30 y_length = 40
31 z_length = 40
32 x_min = -6.12e8
33 x_max = 3.06e8
34 y_min = -3.6e8
35 y_max = 3.6e8
36 z_min = -3.6e8
37 z_max = 3.6e8
38
39 t_max = 2500.0
40
41 [proton_properties]
```

```
42 mass = 1
43 mass_units = PROTON
44 charge = 1
45
46 [proton_vspace]
47 vx_min = -4.0e6
48 vx_max = +4.0e6
49 vy_min = -4.0e6
50 vy_max = +4.0e6
51 vz_min = -4.0e6
52 vz_max = +4.0e6
53 vx_length = 20
54 vy_length = 20
55 vz_length = 20
56
57 [proton_sparse]
58 minValue = 1.0e-15
59 dynamicAlgorithm = 0
60 dynamicBulkValue1 = 1.0e6
61 dynamicBulkValue2 = 1.0e7
62 dynamicMinValue1 = 1.0e-15
63 dynamicMinValue2 = 1.0e-13
64
65 [Magnetosphere]
66 constBgBX = 0.0
67 constBgBY = 0.0
68 constBgBZ = -5.0e-9
69 noDipoleInSW = 1.0
70
71 dipoleType = 4
72 dipoleTiltPhi = 0.0
73 dipoleTiltTheta = 0
74 dipoleXFull = 9.5565e7 # 15 RE
75 dipoleXZero = 2.5e8
76 dipoleInflowBX = 0.0
77 dipoleInflowBY = 0.0
78 dipoleInflowBZ = 0.0 #-5.0e-9
79
80 refine_L2radius = 11e7 # 17.27 RE
81 refine_L2tailthick = 2.5e7 # 3.92 RE
82 refine_L1radius = 1.59275e8 # 25 RE
83 refine_L1tailthick = 6.371e7 # 10 RE
84 refine_L3radius = 6.871e7 # 10.785 RE
85 refine_L3nosexmin = 5.0e7
86 refine_L3tailheight = 1.0e7
87 refine_L3tailwidth = 8.0e7
```

```
88 refine_L3tailxmin = -30.0e7
89 refine_L3tailxmax = -5.0e7
90
91 [ionosphere]
92 centerX = 0.0
93 centerY = 0.0
94 centerZ = 0.0
95 radius = 38.1e6
96 precedence = 2
97 reapplyUponRestart = 1
98
99 [proton_Magnetosphere]
100 T = 0.5e6
101 rho = 1.0e6
102 VX0 = -7.5e5
103 VY0 = 0.0
104 VZ0 = 0.0
105
106 nSpaceSamples = 1
107 nVelocitySamples = 1
108
109 [proton_ionosphere]
110 rho = 1.0e6
111 VX0 = 0.0
112 VY0 = 0.0
113 VZ0 = 0.0
114 taperRadius = 1e8
115
116 [loadBalance]
117 algorithm = RCB
118 rebalanceInterval = 50
119 tolerance = 1.2
120
121 [variables]
122 output = vg_rhom
123 output = vg_rhoq
124 output = vg_v
125 output = populations_vg_rho
126 output = populations_vg_v
127 output = populations_vg_moments_nonthermal
128 output = populations_vg_moments_thermal
129 output = populations_vg_acceleration_subcycles
130 output = fg_b
131 output = vg_b_vol
132 output = fg_e
133 output = fg_e_hall
```



```
134 output = vg_b_perturbed_vol
135 output = populations_vg_ptensor
136 output = vg_boundarytype
137 output = vg_boundarylayer
138 output = vg_rank
139 output = fg_rank
140 output = vg_loadbalance_weight
141 output = vg_maxdt_acceleration
142 output = vg_maxdt_translation
143 output = fg_maxdt_fieldsolver
144 output = populations_vg_blocks
145 output = vg_f_saved
146 output = populations_vg_effectivesparsitythreshold
147 diagnostic = populations_vg_blocks
148
149 output = vg_e_vol
150 output = vg_amr_drho
151 output = vg_amr_du
152 output = vg_amr_dpsq
153 output = vg_amr_dbsq
154 output = vg_amr_db
155 output = vg_amr_alpha
156 output = vg_amr_reflevel
157 output = vg_gridcoordinates
158
159 [proton_energydensity]
160 solarwindspeed = 7.5e5
161
162 [proton_precipitation]
163 nChannels = 9
164 emin = 500      # These are eV
165 emax = 50000
166
167 [boundaries]
168 periodic_x = no
169 periodic_y = no
170 periodic_z = no
171 boundary = Outflow
172 boundary = Maxwellian
173 boundary = Ionosphere
174
175 [outflow]
176 precedence = 3
177
178 [proton_outflow]
179 face = x-
```

```
180 face = y-
181 face = y+
182 face = z-
183 face = z+
184
185 [maxwellian]
186 face = x+
187 precedence = 4
188 reapplyUponRestart = 1
189
190 [proton_maxwellian]
191 dynamic = 0
192 file_x+ = sw1.dat
193
194 [bailout]
195 max_memory = 58
196 min_dt = 0.005
197
198 [fieldsolver]
199 maxSubcycles = 50
200 ohmHallTerm = 2
201 minCFL = 0.4
202 maxCFL = 0.45
203 maxWaveVelocity = 7494811.45 #2.5% of speed of light ...
204
205 [vlasovsolver]
206 minCFL = 0.8
207 maxCFL = 0.99
208 maxSlAccelerationRotation = 22
209 maxSlAccelerationSubcycles = 2
```

Magnetosphere3D.cfg

```
1 0.0 1.0e6 0.5e6 -7.5e5 0.0 0.0 0 0 0
```

sw1.dat

Kirjallisuus

- [1] André Balogh ja Rudolf A. Treumann. *Physics of Collisionless Shocks – Space Plasma Shock Waves*. English. 1. painos. Springer, 2013. ISBN: 978-1-4614-6099-2.
- [2] Teemu Hallamaa. *Voimakas aurinkomyrsky voi kaataa sähköverkot ja pilkkoa internetin – Suomessa tutkitaan, miten odotettuun myrskyyn pitäisi varautua*. Lokakuu 2021. URL: <https://yle.fi/uutiset/3-12120070> (viitattu 10. 10. 2021).
- [3] I. Honkonen et al. “Parallel grid library for rapid and flexible simulation development”. *Computer Physics Communications* 184.4 (huhtikuu 2013), s. 1297–1309. ISSN: 0010-4655. DOI: [10.1016/j.cpc.2012.12.017](https://doi.org/10.1016/j.cpc.2012.12.017). URL: <http://dx.doi.org/10.1016/j.cpc.2012.12.017>.
- [4] P. Janhunen et al. “The GUMICS-4 global MHD magnetosphere-ionosphere coupling simulation”. English. *Journal of Atmospheric and Solar - Terrestrial Physics* 80 (2012), s. 48–59. ISSN: 1364-6826. DOI: [10.1016/j.jastp.2012.03.006](https://doi.org/10.1016/j.jastp.2012.03.006).
- [5] Yann Kempf et al. “Wave dispersion in the hybrid-Vlasov model: Verification of Vlasiator”. *Physics of Plasmas* 20 (marraskuu 2013). DOI: [10.1063/1.4835315](https://doi.org/10.1063/1.4835315).
- [6] Emilia Katja Johanna Kilpua ja Hannu Erkki Juhani Koskinen. *Introduction to Plasma Physics*. English. 1. painos. Finland: LIMES, 2017. ISBN: 978-951-745-228-1.
- [7] Margaret G. Kivelson ja Christopher T Russell. *Introduction to Space Physics*. Cambridge University Press, 1995. DOI: [10.1017/9781139878296](https://doi.org/10.1017/9781139878296).
- [8] Minna Palmroth et al. “Vlasov methods in space physics and astrophysics”. *Living Reviews in Computational Astrophysics* 4.1 (elokuu 2018), s. 1. ISSN: 2365-0524. DOI: [10.1007/s41115-018-0003-2](https://doi.org/10.1007/s41115-018-0003-2). URL: <https://doi.org/10.1007/s41115-018-0003-2>.
- [9] Yann Pfau-Kempf. “Vlasiator – from local to global magnetospheric hybrid-Vlasov simulations”. Tohtorinväitöskirja. Helsinki: University of Helsinki, joulukuu 2016. URL: <http://urn.fi/URN:ISBN:978-952-336-001-3>.
- [10] Yann Pfau-Kempf et al. *fmihpc/vlasiator: Vlasiator*. Huhtikuu 2021. DOI: [10.5281/zenodo.3640593](https://doi.org/10.5281/zenodo.3640593). URL: <https://doi.org/10.5281/zenodo.3640593>.

- [11] Yann Pfau-Kempf et al. “On the Importance of Spatial and Velocity Resolution in the Hybrid-Vlasov Modeling of Collisionless Shocks”. *Frontiers in Physics* 6 (2018), s. 44. ISSN: 2296-424X. DOI: [10.3389/fphy.2018.00044](https://doi.org/10.3389/fphy.2018.00044). URL: <https://www.frontiersin.org/article/10.3389/fphy.2018.00044>.
- [12] S. von Alfthan et al. “Vlasiator: First global hybrid-Vlasov simulations of Earth’s foreshock and magnetosheath”. *Journal of Atmospheric and Solar-Terrestrial Physics* 120 (2014), s. 24–35. ISSN: 1364-6826. DOI: <https://doi.org/10.1016/j.jastp.2014.08.012>. URL: <https://www.sciencedirect.com/science/article/pii/S1364682614001916>.